

基于 1-3 压电复合材料的透镜式聚焦换能器设计

汤旭东, 曾德平, 杨增涛, 赵强

(重庆医科大学生物医学工程学院, 省部共建超声医学工程国家重点实验室, 超声医学工程重庆市市级重点实验室, 重庆 400016)

摘要:为了抑制压电陶瓷透镜式聚焦换能器振动的多模耦合现象, 提高换能器电声转换效率, 采用 1-3 压电复合材料, 设计了一种新型的透镜式聚焦换能器; 首先计算并仿真了 1-3 压电复合材料的厚度谐振频率 f_t 和厚度机电耦合系数 k_t , 理论和仿真结果分别相差 2.947% 和 0.933%; 接着对换能器做振动分析, 结果表明, 在换能器谐振频率 f_t 处, 声透镜中心径向振幅仅为厚度振幅的 7.9%, 径向振动得到有效抑制, 这有助于提高换能器电声转换效率。

关键词:1-3 压电复合材料; 声透镜; 聚焦换能器; 有限元分析; ANSYS

中图分类号: TB552 文献标识码: A

Design of a Lens-focused Transducer Based on 1-3 Piezoelectric Composites

TANG Xudong, ZENG Deping, YANG Zengtao, ZHAO Qiang

(Chongqing Municipal Key Lab. of Ultrasound Engineering in Medicine, State Key Lab. of Ultrasound Engineering in Medicine Co-founded by Chongqing and MOST, College of Biomedical Engineering, Chongqing Medical University, Chongqing 400016, China)

Abstract: To suppress the multi-mode coupling effect and improve the electro-acoustic conversion efficiency of a lens-focused transducer made of the piezoelectric ceramic material, a novel lens-focused transducer using 1-3 piezoelectric composites is designed in this work. First, the thickness resonant frequency f_t and thickness electro-mechanical coupling coefficient k_t of the 1-3 piezoelectric composites were calculated and simulated, the difference between the theoretical value and the simulation value for f_t and k_t are 2.947% and 0.933% respectively. Next, the vibration condition of the transducer was analyzed. At the resonant frequency f_t of the transducer, the displacement amplitude at radial direction of the acoustic lens center is only 7.9% of the thickness direction, which shows that the radial vibration has been suppressed effectively, and thus the electro-acoustic conversion efficiency of transducer has been improved. This study could be used as reference in the development work on focused transducers.

Key words: 1-3 piezoelectric composites; acoustic lens; focused transducer; finite element analysis; ANSYS

0 引言

随着高强度聚焦超声成功地应用于临床治疗, 医用超声技术逐渐从检测领域拓展到治疗领域, 被喻为 21 世纪“科技前沿”项目^[1]。作为聚焦超声技术的核心器件, 目前普遍使用的是基于压电陶瓷的透镜式聚焦换能器, 其工作频率通常约在 1 MHz, 主要利用压电陶瓷的厚度振动实现电声能量转换。但压电陶瓷存在的多振动模耦合问题, 使该类型换能器的电声转换效率较低。1-3 压电复合材料由于本身的结构特点, 有着高的厚度机电耦合系数(k_t), 但目前文献未见基于 1-3 压电复合材料的透镜式聚焦换能器的研究。由此, 我们设计并仿真了基于 1-3 压电复合材料的透镜式聚焦换能器, 以期为后续聚焦换能器的研制提供指导方案。

1 换能器结构设计

结合实际使用条件, 本文设计的基于 1-3 压电复合材料的透镜式聚焦换能器 1/4 结构示意图如图 1 所示。

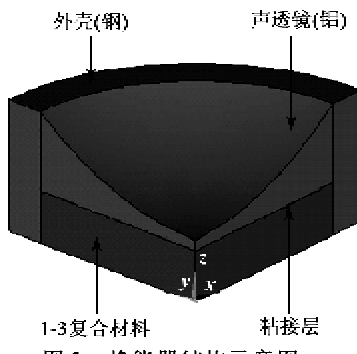


图 1 换能器结构示意图

其中, 1-3 压电复合材料直径为 $\varnothing 50$ mm, 厚为

收稿日期: 2012-09-11

基金项目: 国家自然科学基金委重大科学仪器设备研制专项基金资助项目(81127901); 国家自然科学基金资助项目(81201102)

作者简介: 汤旭东(1987-), 男, 重庆荣昌人, 硕士生, 主要从事聚焦超声换能器研究。通信作者: 曾德平, E-mail: zengdp@haifu.com.cn,

5 mm;粘接层直径为 \varnothing 50 mm,厚为0.1 mm;声透镜直径 \varnothing 50 mm,中心处厚为1 mm,凹面球半径为50 mm;外壳高20 mm,厚为5 mm。各材料参数如表1所示。表中, ρ 为密度; σ 为泊松比。

表1 材料参数

	$\rho/(kg \cdot m^{-3})$	弹性模量/GPa	σ
粘接剂	1 700	10	0.38
声透镜	2 700	71	0.33
外 壳	7 840	216	0.28

2 1-3压电复合材料参数选择

2.1 理论计算

将一维连通压电陶瓷柱周期性排列在三维连通聚合物中就得到1-3压电复合材料,其最早由美国学者Newnham^[2]于20世纪70年代末提出,之后众多学者对其进行了理论研究,这其中主要有Auld^[3]提出的压电陶瓷(PZT)柱周期排列的1-3压电复合材料理论;Smith^[4]提出的厚度振动宏观等效性能参数理论;Chan^[5]在Smith理论的基础上进行扩展而建立的理论等。

根据Chan的理论,1-3压电复合材料厚度谐振频率 f_t 和 k_t 由以下式子确定^[5]。

$$f_t = \frac{1}{2t} \sqrt{\frac{c_{33}^{wE} + \frac{(e_{33}^w)^2}{\epsilon_{33}^{wS}}}{\rho^w}} \quad (1)$$

$$k_t = \sqrt{1 - \frac{c_{33}^{wE}}{c_{33}^{wE} + \frac{(e_{33}^w)^2}{\epsilon_{33}^{wS}}}} \quad (2)$$

其中

$$c_{33}^{wE} = v_1 \left[c_{33}^{pE} - \frac{2(c_{13}^{pE} - c_{12}^r)^2}{U(v_1)} \right] + (1-v_1)c_{11}^r \quad (3)$$

$$e_{33}^w = v_1 \left[e_{33}^{pE} - \frac{2e_{31}^p (c_{13}^{pE} - c_{12}^r)^2}{U(v_1)} \right] \quad (4)$$

$$\epsilon_{33}^{wS} = v_1 \left[\frac{-\epsilon_{33}^{pS} + 2(e_{31}^p)^2}{U(v_1)} \right] + (1-v_1)\epsilon_{11}^r \quad (5)$$

$$\rho^w = v_1 \rho^p + (1-v_1) \rho^r \quad (6)$$

$$U(v_1) = c_{11}^{pE} + c_{12}^{pE} + \frac{v_1(c_{11}^r + c_{12}^r)}{1-v_1} \quad (7)$$

式中: w 为1-3压电复合材料; p 为压电陶瓷; r 为聚合物; C 为弹性刚度常数; e 为压电应力常数; ϵ 为介电常数; ρ 为密度; E 、 S 为恒定电场和等应变条件; v_1 为1-3压电复合材料中压电陶瓷柱的体积分数; t 为1-3压电复合材料厚度。

本文选择PZT-4和环氧树脂进行1-3压电复合材料设计,压电陶瓷柱横截面尺寸为1 mm×1 mm,

柱间距为0.5 mm,压电陶瓷柱体积分数为41.8%。

PZT-4材料^[6]的密度为 $\rho=7 500 kg/m^3$,弹性刚度常数矩阵为

$C=$

$$\begin{bmatrix} 13.9 & 7.78 & 7.43 \\ 7.78 & 13.9 & 7.43 \\ 7.43 & 7.43 & 11.5 \end{bmatrix} \times 10^{10} N/m^2 \quad (8)$$

压电应力常数矩阵

$$e = \begin{bmatrix} -5.2 \\ -5.2 \\ 15.1 \\ 12.7 \\ 12.7 \end{bmatrix} \quad (9)$$

介电常数矩阵

$$\epsilon = \begin{bmatrix} 730 \\ 730 \\ 635 \end{bmatrix} \epsilon_0 \quad (10)$$

环氧树脂材料参数如表2所示。

表2 环氧树脂材料参数

$\rho/(kg/m^3)$	ϵ_{11}/ϵ_0	$C_{11}/(10^{10} N/m^2)$	$C_{11}/(10^{10} N/m^2)$
1 140	4	0.701 8	0.394 4

注:真空介电常数 $\epsilon_0=8.84 \times 10^{-12} C/m$ 。

由式(1)~(7)和表1、2参数可计算得 $f_t=302.098$ kHz, $k_t=0.643$ 。

2.2 ANSYS仿真

由于1-3压电复合材料具有对称性,故取1/4结构进行仿真即可^[7],采用SOLID98压电耦合场单元,建立有限元模型如图2所示。

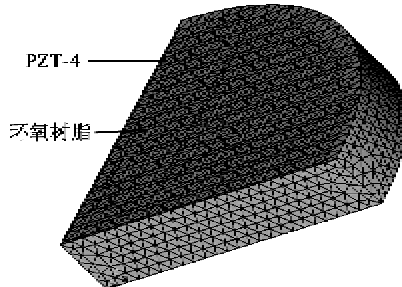


图2 1-3压电复合材料有限元模型

由1-3压电复合材料的 f_t 和反谐振频率 f_a ,通过下式可求得 k_t ^[8],即

$$k_t = \sqrt{\frac{\pi}{2} \frac{f_t}{f_a} \cdot \cot\left(\frac{\pi}{2} \frac{f_t}{f_a}\right)} \quad (11)$$

利用ANSYS软件仿真1-3压电复合材料的导纳曲线如图3所示。图中,Y为1-3压电复合材料电导,f为正弦激励电压频率,

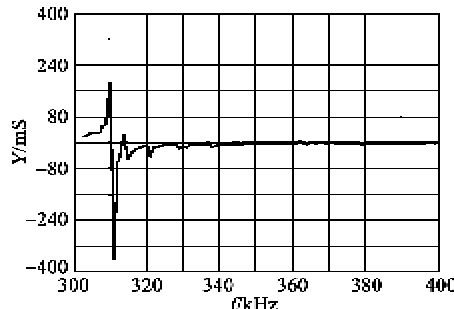


图3 1-3压电复合材料导纳曲线

由仿真结果可得1-3压电复合材料 f_t 和 f_s 分别为311.0 kHz和388.0 kHz,通过式(11)计算得 $k_t=0.637$ 。

f_t 、 k_t 理论和仿真结果对比情况如表3所示。

表3 理论和仿真结果对比情况

	理论值	仿真值	相差/%
f_t /kHz	302.098	311.0	2.947
k_t	0.643	0.637	0.933

由表3结果可见, f_t 、 k_t 理论和仿真值相符,相差均小于5%。

3 换能器振动分析

由于换能器具有对称性,取换能器1/4结构,采用SOLID98压电耦合场单元,建立有限元模型如图4所示。

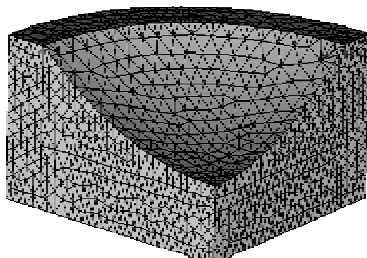


图4 换能器有限元模型

计算换能器导纳曲线如图5所示。

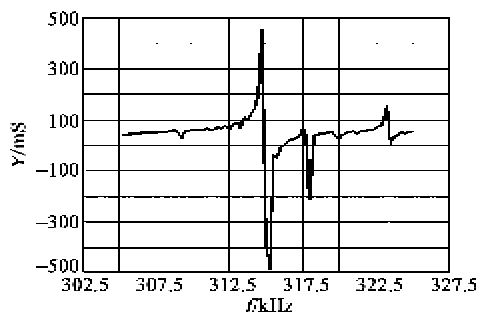


图5 换能器导纳曲线

图5结果显示, $f_t=315.0$ kHz。图6为 f_t 处声透镜凹球面的振幅分布情况。

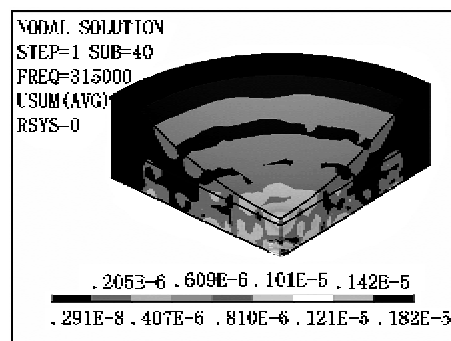


图6 声透镜凹球面振幅分布图

由图6可见,换能器外壳及声透镜边缘振幅很小,量值上比其余部分低2个数量级;声透镜凹球面中部呈若干个较均匀的振幅分布带,量值介于声透镜边缘和声透镜中心之间,约为0.2~1.0 μm;声透镜凹球面中心处振幅最大,量值约为1.0~2.0 μm。

取声透镜凹球面中心处厚度振幅和径向振幅作进一步对比分析,结果如图7、8所示。图中,U为振幅值。

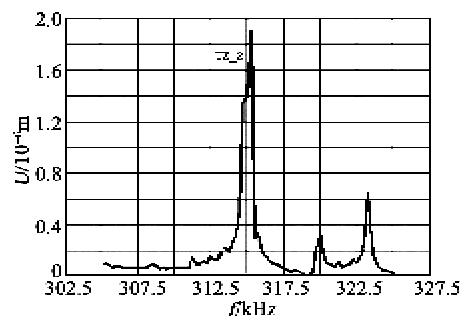


图7 声透镜凹球面中心厚度振幅

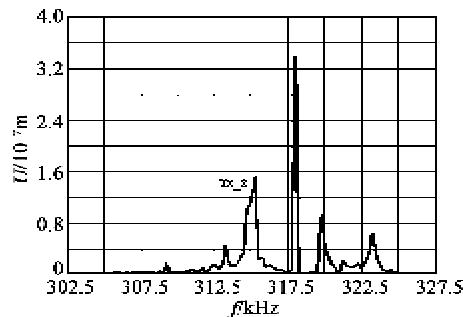


图8 声透镜凹球面中心径向振幅

由图7、8结果可见,在 f_t 处,厚度振幅达到最大值(为1.914 μm),径向振幅为0.151 μm,仅为厚度振幅的7.9%;另外,在 f_t 附近,径向振幅最大值为0.338 μm,仅为厚度最大振幅的17.6%,不到1/5,表明径向振动得到较好抑制,这有助于提高换能器的电声转换效率。

4 结束语

压电陶瓷透镜式聚焦换能器存在多振动模耦合问题,针对实际使用条件,结合1-3压电复合材料的优秀性能,本文设计了基于1-3压电复合材料的透镜式聚焦换能器,分析结果显示采用1-3压电复合材料研制聚焦超声换能器能较好地解决以上问题。

通常,压电陶瓷的厚度机电耦合系数低于0.5,使压电陶瓷透镜式聚焦换能器电声转换效率较低。而正如本文所分析的那样,1-3压电复合材料较强的径向振动抑制能力,使其厚度机电耦合系数达到0.6以上,这有助于提高换能器的电声转换效率。

本文首先设计了基于1-3压电复合材料的透镜式聚焦换能器结构;其次计算并仿真了1-3压电复合材料的厚度谐振频率 f_t 和厚度机电耦合系数 k_t ,仿真和理论结果分别相差2.947%和0.933%,符合较好,表明参数设计在要求范围内;在此基础上,对换能器进行了振动分析,结果表明换能器谐振频率 $f_t=315.0\text{ kHz}$,声透镜中心厚度振幅为 $1.914\mu\text{m}$,径向振动较弱,达到了预期目的。

参考文献:

- [1] 冯若. 我国聚焦超声治疗技术的迅速崛起与展望[J]. 声学技术, 2011, 30(1): 17-20.
FENG Ruo. Rapid rise of focused ultrasound therapeutic technique and prospect in China[J]. Technical Acoustics, 2011, 30 (1): 17-20.

(上接第544页)

- [9] 韩权威, 李坤, 严玲, 等. 磁场增强压电悬臂梁震动发电装置[J]. 压电与声光, 2011, 33(1): 85-92.
HAN Quanwei, LI Kun, YAN Ling, et al. Magnetic field enhanced piezoelectric cantilever-structure vibration generator[J]. Piezoelectrics & Acoustooptics, 2011, 33(1): 85-92.
- [10] 马华安, 刘景全, 唐刚, 等. 一种宽频的磁式压电振动能量采集器[J]. 传感器与微系统, 2011, 30(4): 66-68.
MA Hua'an, LIU Jingquan, TANG Gang, et al. A magnetic structure for broadband piezoelectric vibration energy harvester[J]. Transducer and Microsystem Technologies, 2011, 30(4): 66-68.
- [11] 孙舒, 曹树谦. 双稳态压电悬臂梁发电系统的动力学建模及分析[J]. 物理学报, 2012, 61(21): 210505.
SUN Shu, CAO Shuqian. Dynamic modeling and analysis of a bistable piezoelectric cantilever power generation system[J]. Acta Phys Sinica, 2012, 61 (21): 210505.
- [12] 陈树辉. 强非线性振动系统的定量分析方法[M]. 北京: 科学出版社, 2007.
- [2] NEWNHAM R E, SKINNER D P, CROSS L E. Connectivity and piezoelectric-pyroelectric composites[J]. Mat Res Bull, 1978, 13(5): 525-536.
- [3] AULD B A, KUNKEL H A, SHUI Yongan, et al. Dynamic behavior of periodic piezoelectric composites. In: IEEE. 1983 Ultrasonics Symposium Proceedings[C]// Ameria: IEEE, 1983: 554-558.
- [4] SMITH W A, AULD B A. Design of piezocomposites for ultrasonic transducers[J]. Ferroelectrics, 1989, 91 (1): 155-162.
- [5] CHAN H L W, UNSWORTH J. Simple model for piezoelectric ceramic/polymer 1-3 composites used in ultrasonic transducer applications[J]. IEEE Trans Ultrason Ferroelec Freq Contr, 1989, 36(4): 434-441.
- [6] 王荣津. 水声材料手册[M]. 北京: 科学出版社, 1983: 145-147.
- [7] RAMESH R, PRASAD C D, VINOD KUMAR T K. Experemental and finite element modeling studies on single-layer and multi-layer 1-3 piezocomposite transducers[J]. Ultrasonics, 2006, 44(4): 341-349.
- [8] 王炳辉. 1-3压电复合材料的有限元分析计算[J]. 声学技术, 2009, 28(2): 300-301.
WANG Binghui. Finite element analysis of 1-3 composite piezoelectric material [J]. Technical Acoustics, 2009, 28(2): 300-301.
- [9] 李莉. 1-3系压电复合材料及水声换能器研究[D]. 北京: 北京邮电大学, 2008.